

## 討25 油井環境における高合金の使用限界条件の設定

新日本製鐵(株)

钢管研究センター

伝宝幸三, 宮坂明博, 小川洋之

特別基礎第三研究センター

橋本 操, 佐藤栄次, 村田朋美

### 1. はじめに

油井環境の苛酷化に対応して高耐食合金の使用量が増加する傾向にある。種々の高耐食合金を効率よく使用するためには、使用環境に対応した材料の選択が必要であり、そのためには適切な評価基準の設定が必要である。

通常、一定の環境で材料が使用される場合、その環境における fatal damage を与える腐食形態に対する耐食性を評価することにより、その材料の使用性能を評価することが可能である。しかし、油井環境の場合は、広い範囲にわたる  $H_2S$  分圧、 $CO_2$  分圧、温度、pH、 $Cl^-$  イオン濃度を包括し、fatal damage を与える腐食形態が一定でないために一義的な評価基準を設定することは困難である。

従来、高合金の使用限界を決定するために用いられてきた方法は、高温高圧オートクレーブ中で腐食試験および SCC 試験を行い、所定の腐食速度（たとえば  $0.05 \text{ mm/y}^{12}$ ）以下になるとともに SCC を生じない環境領域を求めるものである<sup>2,3)</sup>。しかし、前者では全面腐食か孔食かといった腐食形態と関係づけた criterion とはなっておらず設定値の根拠が必ずしも明確ではない。また後者では応力の負荷方法や環境の設定方法等の試験方法によって結果が変化するために信頼性の低いものとなっている。

以上のように高合金の耐サワーガス特性の評価については、いまだ確立されたものとはなっていないが、高合金の持つ特徴（たとえば不働態化皮膜）を利用した基準を検討することが適正であろう。そこで本報においては自己不働態化能を基準として  $H_2S$  環境において発生する腐食形態を分類し、材料の使用性能を予測する方法について検討した結果を報告する。

### 2. 実験

不働態皮膜の生成と破壊に関して主として次のような実験を行った。

- 1) Depassivation pH ( $pH_D$ )：試料の作用面積は  $1 \text{ cm}^2$  とし測定前に  $60^\circ\text{C}$ ,  $50\%$   $H_2SO_4$  中で大気生成皮膜の除去を行い、 $25^\circ\text{C}$ ,  $20\%$   $NaCl + Ar$  脱気または  $H_2S$  鉱和水溶液中に浸漬し、24時間後の浸漬電位と試験液の pH の値を pH-電位図としてプロットした。
- 2) 定電位アノード酸化： $E = -0.2 \text{ V vs SCE}$  で  $1 \text{ min}$  不働態化後、 $i = 10 \mu\text{A/cm}^2$  で定電流アノード酸化を開始し、その後の電位変化を測定した。
- 3) Self-activation time の測定：Ar 環境中で  $E = +0.4 \text{ V}$ ,  $60 \text{ min}$  酸化後、 $H_2S$  バブリングを行い open circuit での電位が急激に低下するまでの時間を測定した。
- 4) 孔食電位の測定： $25^\circ\text{C}$  の  $10^{-4} \text{ NHCl} + NaCl + H_2S$  溶液中で孔食電位の測定を行った。
- 5) 浸漬試験と割れ試験：高温高圧  $H_2S$  環境中で浸漬試験および 4 点曲げ試験を行った。

### 3. 実験結果および考察

#### 3.1 不働態皮膜の形成

高合金鋼の不働態化能は Depassivation pH ( $pH_D$ ) を用いて相対的に評価することが可能である。SUS316L および In 625 の  $pH_D$  に及ぼす  $H_2S$  の影響を Fig. 1(a) および(b) にそれぞれ示した。SUS316L の  $H_2S$  環境中での  $pH_D$  は、Ar 環境中での  $pH_D$  に比べて高くなっている。しかし、 $pH_D$  の測定において、前述のように初期の表面状態は活性であるので、 $H_2S$  が存在する環境下でも高合金鋼が自己不働態化しうることがわかる。また、 $H_2S$  環境においても高耐食性を示す In 625 では、 $pH_D$  に対する  $H_2S$  の影響が小さい。

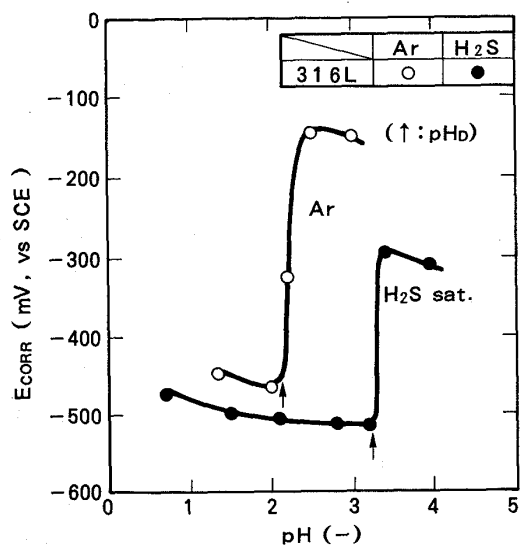


Fig. 1-(a) Effect of  $\text{H}_2\text{S}$  on Depassivation  $\text{pH}$  ( $\text{pH}_D$ ) of SUS316L

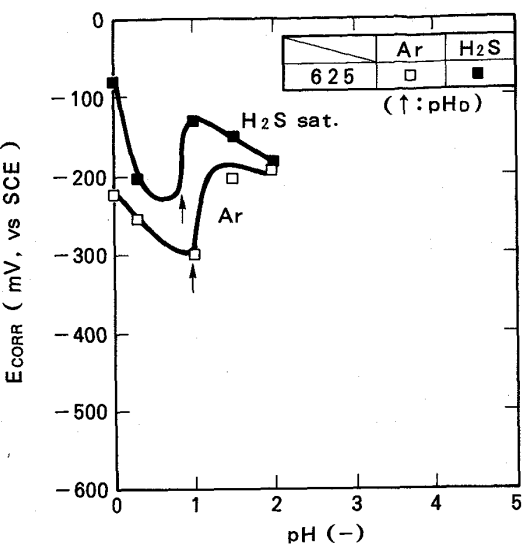


Fig. 1-(b) Effect of  $\text{H}_2\text{S}$  on Depassivation  $\text{pH}$  ( $\text{pH}_D$ ) of In 625

Fig. 2 には Ar 環境, 1 atm  $\text{H}_2\text{S}$  鮑和および 0.1 atm  $\text{H}_2\text{S}$  鮑和環境における  $\text{pH}_D$  と合金成分との関係を示した。どの合金成分値の場合においても  $\text{pH}_D$  に及ぼす  $\text{H}_2\text{S}$  の影響は同じ傾向を示しており、 $(\text{Cr} + 3\text{Mo} + 0.5\text{Ni})$  の値が約 80になると、どの環境においても  $\text{pH}_D$  は 1 以下となり耐食性が向上している。

試験環境中に酸素が存在しない場合には、Passivation Accelerator は水素イオンの還元反応であると考えられるので、 $\text{H}_2\text{S}$  の有無にかかわらず  $\text{pH}$  が  $\text{pH}_D$  より高い領域での自然電位

( $E_{\text{CORR}}$ ) は、水素イオンの還元反応:  $2\text{H}^+ + 2\text{e}^- = \text{H}_2$  の平衡電位よりやや貴な電位域に存在することとなる。Fig. 3 には、Ar および  $\text{H}_2\text{S}$  環境における環境の  $\text{pH}$  と  $E_{\text{CORR}}$  の関係を  $\text{S}-\text{H}_2\text{O}$  系の Pourbaix-diagram とともに示した。この図から上述の議論が妥当であることが明らかである。

酸素が存在しない  $\text{Cl}^-$  環境中における不働態皮膜の構造は、主として不働態化電位に依存することが知られている。定電流アノード酸化による電位  $E$  の電気量依存性を Fig. 4 に示した。図は  $E = -0.2\text{ V}$  vs SCE で 1

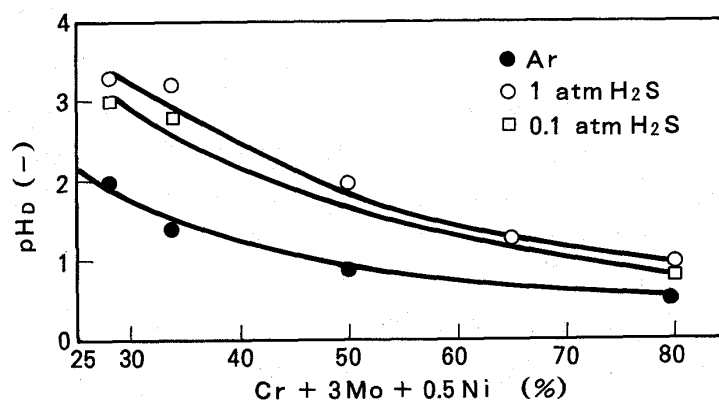


Fig. 2 Relationship between  $\text{pH}_D$  and  $(\text{Cr} + 3\text{Mo} + 0.5\text{Ni})$

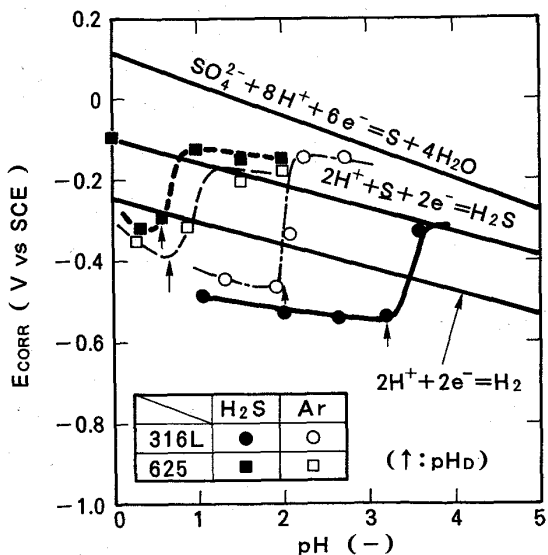


Fig. 3 Relationship between  $E_{\text{CORR}}$  and  $\text{pH}$

分間不働態化した後、 $i = 10 \mu\text{A}/\text{cm}^2$  で定電流アノード酸化を開始した直後からの電位変化を測定した結果である。Ar 脱気および  $\text{H}_2\text{S}$  鮫和のどちらの場合にも電位は電気量と直線関係にある。また、どちらの場合にも  $E_{\text{crit.}}$  を境として二直線となっているが、これは  $E_{\text{crit.}}$  を境として皮膜組成、および皮膜成長機構が異なることに起因している。皮膜形成までの直線の勾配は  $\text{H}_2\text{S}$  が鮫和した環境では小さく、 $\text{H}_2\text{S}$  による皮膜溶解速度が増大し、皮膜の形成効率が低下していることがわかる。

一方、皮膜形成後の直線の勾配は Ar 脱気の場合も  $\text{H}_2\text{S}$  鮫和の場合もほぼ等しく皮膜の形成機構すなわち、皮膜の構造は  $\text{H}_2\text{S}$  の影響は受けていないことが示されている。

### 3.2 不働態皮膜の破壊

一般に不働態皮膜の破壊は、Fig. 5 に模式的に示したように、還元型 breakdown(a)と酸化型 breakdown(b)の二種類に分類される<sup>5)</sup>。還元型 breakdown の場合は不働態皮膜が全体として溶解し、いつかは消失するタイプの皮膜である。一方、(b)に示された酸化型 breakdown では、健全な皮膜のうち、部分的に何箇所かが溶解するが、他の部分の皮膜は依然として健全性を有するタイプの皮膜である。

不働態皮膜の溶解速度を評価する一つの手段として self-activation time<sup>5)</sup> の測定があるが、その一例を Fig. 6 に示した。この図は Ar 鮫和溶液中で形成された不働態皮膜を  $\text{H}_2\text{S}$  の存在する環境中で自動還元するのに必要な時間と示している。

不働態皮膜の還元型 breakdown は  $\text{H}_2\text{S}$  によって加速されることがわかる。不働態が保持されない環境すなわち、 $\text{pH}_D$  より pH が低い環境におかれたとき、不働態皮膜は還元型 breakdown を起こすが、pH が  $\text{pH}_D$  より高い環境にある場合には、Fig. 1 に示したように、 $\text{H}_2\text{S}$  が存在しても不働態皮膜は保持される。このような環境においては、還元型 breakdown は発生せず、酸化型 breakdown が発生

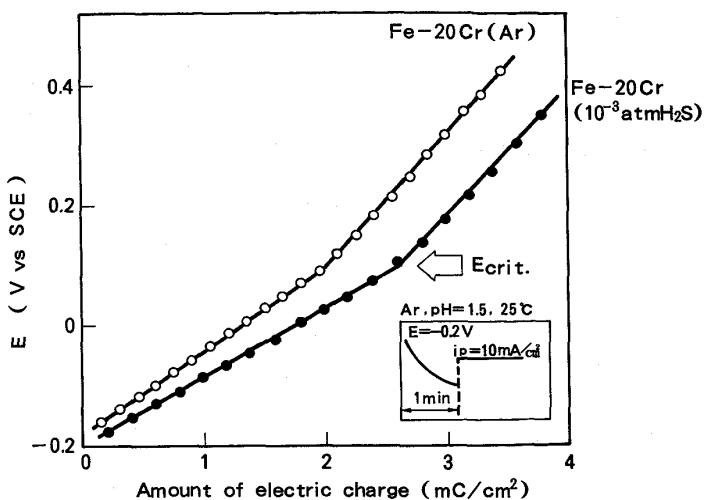


Fig. 4 Growth of passive film by potentiostatic anode oxidation

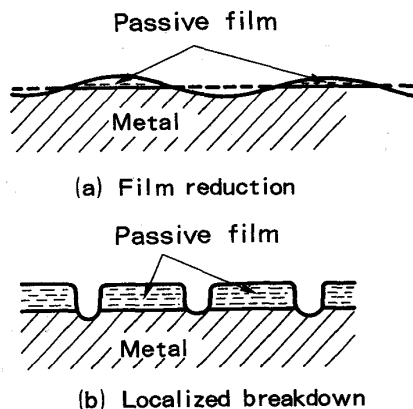


Fig. 5 Typical types of breakdown of passive film

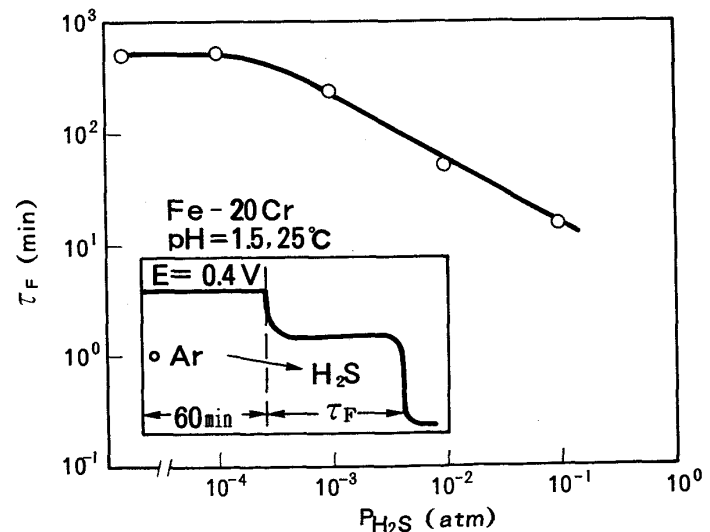


Fig. 6 Dependence of  $\tau_F$  on  $P_{\text{H}_2\text{S}}$

すると考えられる。

この酸化型 breakdown の一形態である孔食発生に及ぼす  $\text{Cl}^-$  および  $\text{H}_2\text{S}$  の影響を Fig. 7 に示した。酸化型孔食領域の孔食電位は  $\text{H}_2\text{S}$  の影響は受けず、主として  $\text{Cl}^-$  イオン濃度に依存している。この事実は  $\text{H}_2\text{S}$  による皮膜厚の減少がそれほど著しくないことを意味している。

さらに  $\text{H}_2\text{S}$  濃度が上昇すると皮膜厚はさらに減少し局部的にきわめて弱い皮膜になるとともに、この弱い皮膜は  $\text{Cl}^-$  イオンにより容易に破壊される。従って孔食が生成し、 $\text{H}_2\text{S}$  による活性溶解が進行すると考えられる。

以上のように、孔食電位はある  $\text{H}_2\text{S}$  分圧の値を境として 2 つの領域に分かれ、 $\text{H}_2\text{S}$  が存在するため不働態皮膜が変化するとともに  $\text{Cl}^-$  イオンによって不働態皮膜の破壊が起りやすくなることがわかる。

### 3.3 腐食形態と使用限界

前述の検討結果を総合すると、材料が使用可能な環境の範囲は、少くとも pH が  $\text{pH}_D$  より高い領域に設定することが妥当であろう。

$\text{pH}_D$  は環境の  $\text{H}_2\text{S}$  分圧と温度との影響も受け変化するので、それに対応して腐食形態も変化する。Fig. 8 は環境条件 ( $\text{P}_{\text{H}_2\text{S}}$ , T) と腐食形態の関係を示しているが、環境が厳しくなるにつれ、腐食形態は、不働態 → 孔食 → 割れ と変化していることがわかる。

### 4. まとめ

以上に述べたように、 $\text{pH}_D$  を指標とした自己不働態化能を基準とすることによって使用環境に応じた材料選択あるいは材料の使用限界の設定ができると考えられる。

### <参考文献>

- 1) A. Ikeda, T. Kudo, Y. Okada, S. Mukai and F. Terasaki : Corrosion '84, No. 206 (1984).
- 2) I. Matsushima, T. Shimada, Y. Ishizawa, K. Masamura, J. Sakai and M. Tanimura : Corrosion '85, No. 233 (1985).
- 3) J. Oredsson and S. Bernhardsson : Corrosion '82, No. 126 (1982).
- 4) 伝宝, 宮坂, 小川: 鉄と鋼, 71, S1324 (1985).
- 5) G. Okamoto : Corrosion Sci., 13, 471 (1973).

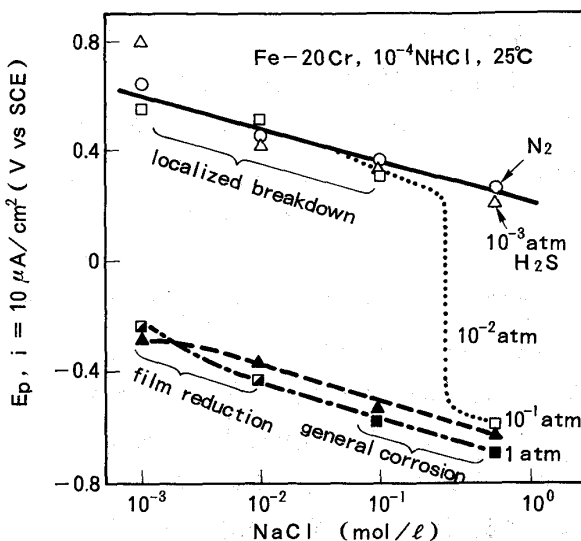


Fig. 7 Effect of  $\text{Cl}^-$  ion concentration and  $\text{P}_{\text{H}_2\text{S}}$  on pitting potential

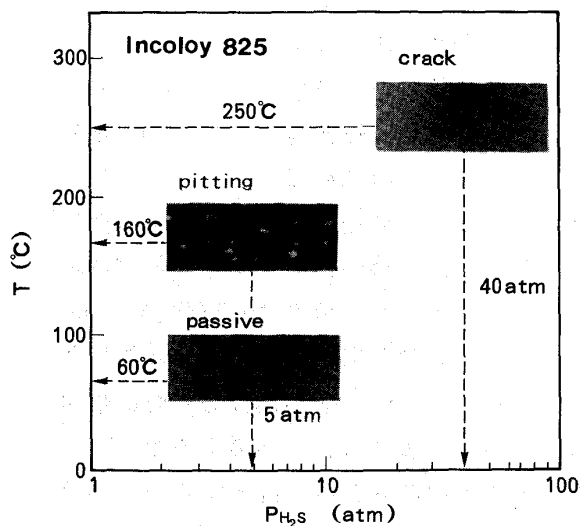


Fig. 8 Relationship between types of corrosion and environmental conditions